

Semaine 9b

9b.1. Systèmes Hyperstatiques - Support Elastique – Charge distribuée

Pour la poutre de la figure 9-00 . sans calculs

- o i) Dessinez le diagramme des forces de la poutre bleu
- o ii) Calculez le nombre de redondants
- o iii) Indiquez votre choix pour résoudre le problème
- o iv) Dessinez les systèmes isostatiques nécessaires pour résoudre le problème.
- v) Donnez les équations de compatibilité en fonction de la flèche ou sa dérivée à un/plusieurs points. Ne pas résoudre les équations de compatibilité, nous vous demandons simplement les poser.

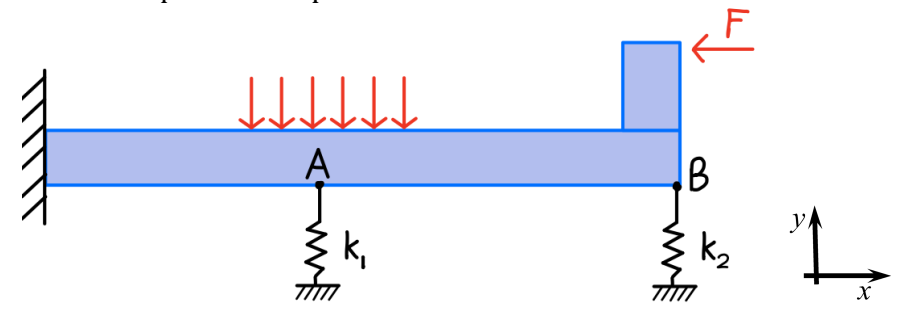
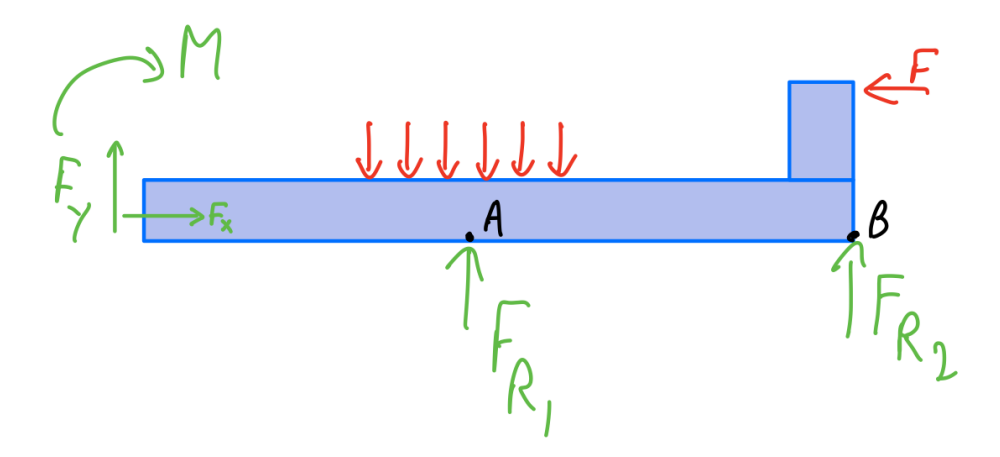


Figure 90-00 : La poutre est encastrée à gauche. Il y a des ressorts en A et en B de constante de ressort k_1 et k_2

9b.1. Solution

i. Free Body Diagram drawing



ii. Calcul des redondants

N. redondants = N. unknowns - N. available equations In this case,

N. unknowns = $5 (M, F_x, F_y, F_{R1}, F_{R1})$;



N. available equations = 3 (forces in x, forces in y, moment in z)

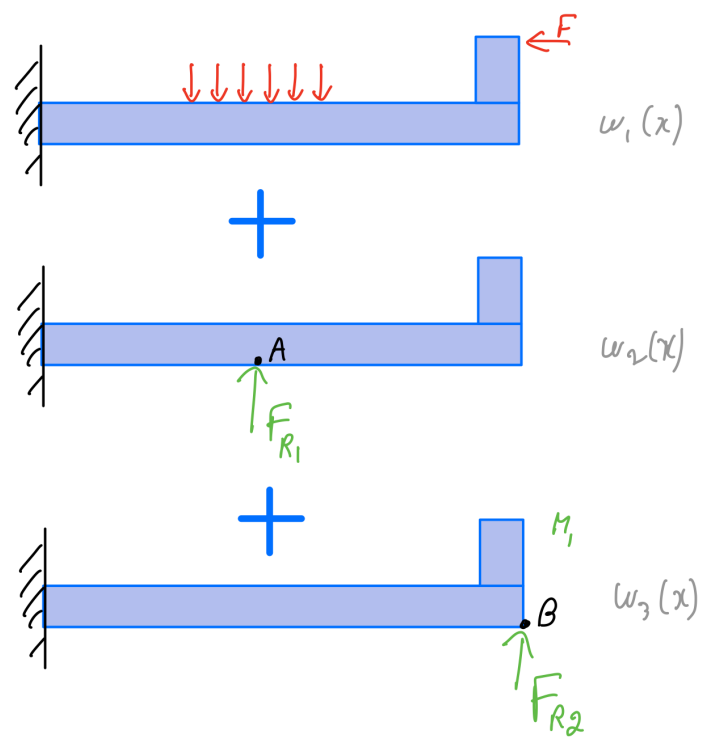
N. redondants = 2

iii. Choix des redondants redondants

 F_{R1} and F_{R2} should be chosen as redundant

iv. Dessin des systèmes isostatiques nécessaires pour résoudre le problème.

The chosen redundant constraints are removed, thus obtaining an isostatic system. The redundant reaction forces are treated like external loads.



Équations de compatibilité

The effects of the redundant constraints have to be expressed in equation form

$$F_{R1} = -k_1 w(A)$$
 $F_{R2} = -k_2 w(B)$



9b.2. Support Elastique – Charge ponctuelle

Une poutre AC de longueur L est encastrée au point A et attaché par une articulation à un ressort BD au point B (voir Figure 9b.2.1). La section de la poutre AC est un carré de côté t=0.1 L.

Le ressort a une constante $k = \frac{2Et^2}{L}$.

Déterminez, dans l'ordre qui vous arrange, par exemple en commençant par (e) si vous utilisez le formulaire

Les forces et moments de réactions sur la poutre AC Le diagramme de l'effort tranchant V(x) dans la poutre AC Le diagramme du moment de flexion M(x) dans la poutre AC w'(x) en fonction de x de A à C La déflexion w(x) de A à C

Indice: utilisez l'approximation $\left(\frac{L}{t}\right)^2 \gg 1$

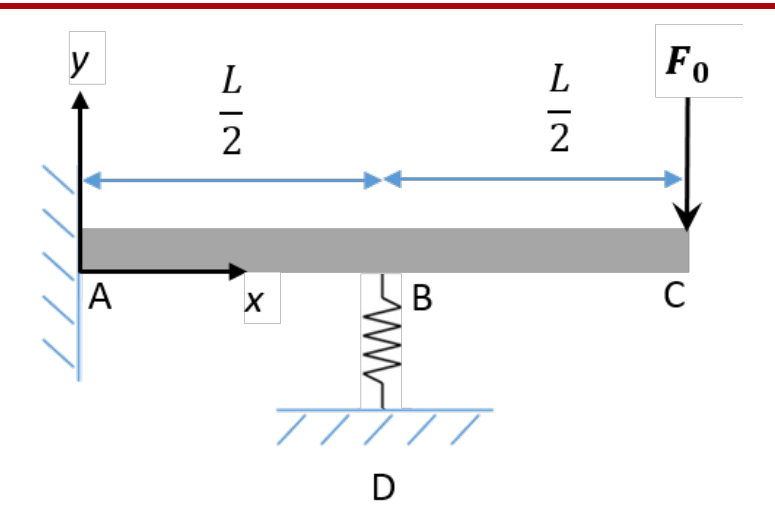


Figure 9b.2.1 | Poutre supportée par un ressort.



9b.2. **Solution**

2 Façons (également) valables de résoudre:

- Superposition, trouver w(x) en fonction de F_B , puis utiliser $F_B = k w(B)$ pour trouver F_B . On connait alors w(x), qu'on dérive pour obtenir M(x) et V(x)
- Méthodes Sections, trouver V(x) et M(x). Puis par intégration w(x), tous en fonction de F_B . ii) Enfin utiliser $F_B = k w(B)$ et puis on a donc une expression pour V(x) et W(x).

What is given? Ces infos sont utiles!

- Length of beam L
- $t = 0.1 \cdot L$
- $k = 2\frac{Et^2}{r}$ <u>k est donné!</u> Ça nous permettra de simplifier par la suite

Assumptions

The material is homogeneous and isotropic.

What is asked?

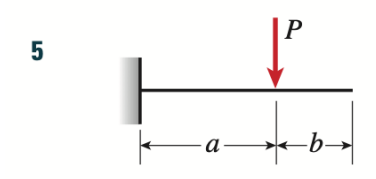
- (a) The reactions forces and moments
- (b) Shear force diagram in the beam AC
- (c) Bending moment diagram in the beam AC
- (d) Derivative of the deflection along AC as a function of x
- (e) Deflection along the beam AC as a function of x

Methode i (superposition et formules de poutres) - plus facile



$$v = -\frac{Px^2}{6EI}(3L - x)$$
 $v' = -\frac{Px}{2EI}(2L - x)$

$$\delta_B = \frac{PL^3}{3EI}$$
 $\theta_B = \frac{PL^2}{2EI}$



$$v = -\frac{Px^{2}}{6EI}(3a - x) \qquad v' = -\frac{Px}{2EI}(2a - x) \qquad (0 \le x \le a)$$

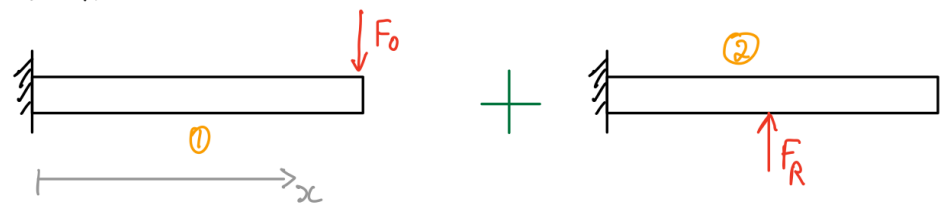
$$v = -\frac{Pa^{2}}{6EI}(3x - a) \qquad v' = -\frac{Pa^{2}}{2EI} \qquad (a \le x \le L)$$



1 redondant. on doit choisin F_R car l'équation de compatibilité est pain F_R

$$F_R = -k \omega(x=L/2)$$

SUPERPOSITION



$$W_{1}(x) = -\frac{F_{0} x^{2}}{6EI} (3L-x) \qquad 0 \le x \le L$$

$$W_{2}(x) = \int +F_{R} \frac{x^{2}}{6EI} (\frac{3L}{2}-x) \qquad 0 \le x \le L/2$$

$$+F_{R} \frac{L^{2}}{2HEI} (3x-\frac{L}{2}) \qquad L/2 \le x \le L$$

je minténesse en premier à $\omega(x=L/2) = \omega_1(x=L/2) + \omega_2(x=L/2)$ $\omega(x=L/2) = -\frac{f_0 L^2}{4.6 EI} (3L-\frac{L}{2}) + F_R \frac{L^2}{24 EI} (\frac{3L}{2} - \frac{L}{2})$ $= \frac{L^2}{24 EI} \left[-\frac{5}{2} F_0 L + F_R L \right]$ $= -F_R$ $= \frac{F_R}{R}$ je thouse alors F_R

$$F_{R} = \frac{RL^{3}}{24EI} \stackrel{5}{=} F_{0} - \frac{F_{R}L^{3}R}{24EI}$$

$$F_{R} = \frac{5}{2} F_{0} \frac{1}{1 + \underbrace{2Et^{4}}_{RL^{3}}}$$

nous connaissons & : VOIR l'énnoncé

$$R = 2E \frac{t^2}{L}$$
 done $F_R = \frac{5}{2} F_0 \frac{1}{1 + (t/L)^2}$

$$\left(\frac{\pm}{L}\right)^2 = \frac{1}{100}$$
 $F_R = \frac{5}{2}F_0$

$$\omega(x) = \begin{cases} -F_{o} x^{2} (3L-x) + \frac{5}{2} F_{o} \frac{x^{2}}{6EI} (3L-x) & 0 \le x \le L \\ -F_{o} x^{2} (3L-x) + \frac{5}{2} F_{o} \frac{L^{2}}{24EI} (3x-L) & \frac{L}{2} \le x \le L \end{cases}$$

$$\omega(x) = \begin{cases} \frac{F_o}{6EI} \left(\frac{3}{4} L x^2 - \frac{3}{2} \chi^2 \right) & 0 \le x \le L \\ \frac{F_o}{2EI} \left(\frac{\chi^3}{3} - L \chi^2 + 5L\kappa - 5L^2 \right) & \frac{L}{2} \le x \le L \end{cases}$$

on peut dériver pour trouver cu'(x) M(x) V(x)

$$0 \le x \le \frac{L}{2}$$

$$\omega'(x) = \frac{F_0}{EI} \left(\frac{Lx}{4} - \frac{3x^2}{4} \right)$$

$$M(x) = \frac{F_0 L}{4} - \frac{3}{2} F_0 \times$$

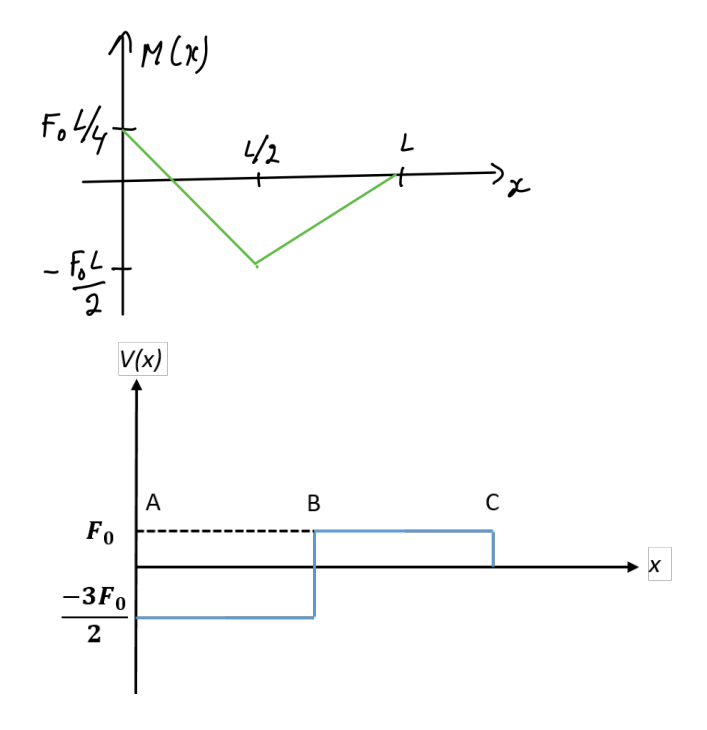
$$V(x) = -\frac{3}{2} F_0$$

$$\frac{L}{2} \leq \chi \leq L$$

$$\omega'(x) = \frac{F_0}{2EI} \left(x^2 - 2Lx + 5L \right)$$

$$M(x) = \frac{F_0}{2} \left(2x - 2L \right) = F_0(x - L)$$

$$V(x) = F_0$$



Méthode ii (méthode des sections) - plus long

Principles and formula

(a) We calculate the reaction forces from the free body diagram of the beam, shown in Figure 9b.2.2

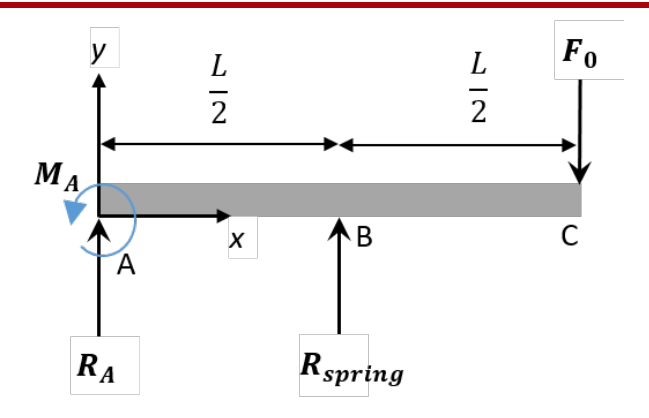


Figure 9b.2.2 | Free body diagram



The equilibrium of forces in *y* yields:

$$\Sigma F_{y} = 0 \implies R_{A} + R_{spring} - F_{0} = 0$$

$$(1)$$

$$R_{A} + R_{spring} = F_{0}$$

$$(2)$$

From the equilibrium of the moment M_z about A, we get:

$$\Sigma M_z = 0 \implies M_A + R_{spring} \frac{L}{2} - F_0 L = 0$$
 (3)

$$R_{spring}L + 2M_A = 2F_0L (4)$$

Note that this is a statically indeterminate problem. R_{spring} will remain unknown until the **deflection is calculated**, when we can then use the following formula:

$$R_{spring} = -k \cdot w \left(x = \frac{L}{2} \right) \tag{5}$$

We will express everything as a function of R_{spring} to be able to compute it using compatibility.

(b) Shear force V(x)

From A to B the shear force is defined as:

$$V(x) = V(x=0) = R_A \tag{6}$$

From B to C:

$$V(x) = F_0 = R_{spring} + R_A \tag{7}$$

Therefore, at the middle of the beam:

$$V\left(\frac{L^{+}}{2}\right) - V\left(\frac{L^{-}}{2}\right) = R_{spring} \tag{8}$$

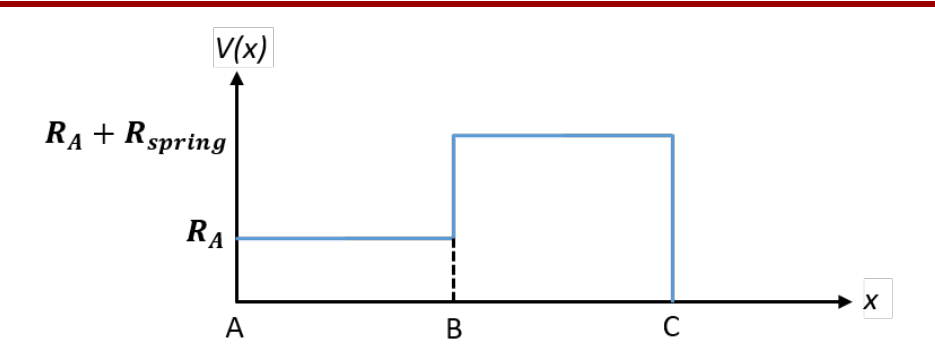


Figure 9b.1.3 | Shear Force Diagram

(c) Bending Moment M(x)

We know from theory that:

$$\frac{\partial M_Z(x)}{\partial x} = V(x) \to \int_0^x dM_Z = \int_0^x V(x') dx'$$
(9)

Which in the section from A to B means:

$$M_{z}(x) = -M_{A} + \int_{0}^{x} (R_{A})dx' = -M_{A} + R_{A}x$$

$$M_{z}\left(x = \frac{L}{2}\right) = -M_{A} + \frac{R_{A}L}{2}$$
(11)

In the section from B to C means:

$$M_Z(x) = -M_A + R_A x + R_{spring} \left(x - \frac{L}{2} \right) = F_0(x - L)$$
 (12)

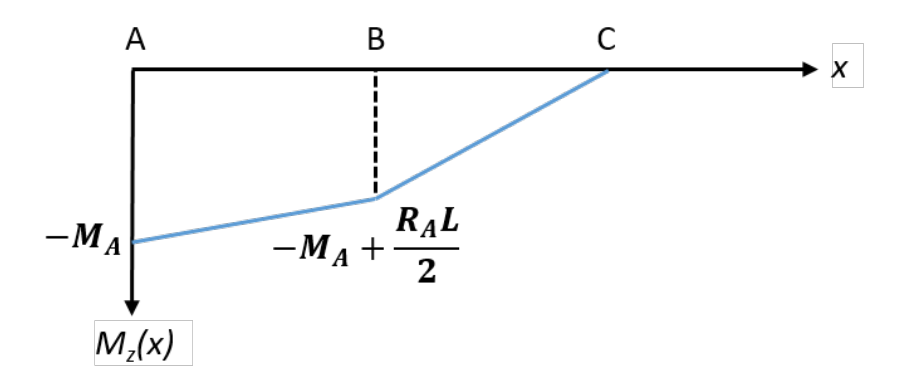


Figure 9b.2.4 | Bending Moment Diagram

(d) Derivative of deflection of the beam as a function of x: w'(x)

The curvature of the beam due to bending moments at any point is given by:

$$\frac{d^2w}{dx^2} = \frac{M_Z(x)}{EI_{Z,V_0}} \tag{13}$$

Hence we can calculate the derivative by integration of Eq. (13):

$$w'(x') = \frac{1}{EI_{z,y_0}} \int_0^{x'} M_z(x'') dx''$$
(14)

Which in the section from A to B takes the form:

$$w'(x') = \frac{1}{EI_{z,y_0}} \int_0^{x'} (-M_A + R_A x'') dx'' = \frac{1}{EI_{z,y_0}} \left(\frac{R_A}{2} x'^2 - M_A x' \right) + w'(x' = 0)$$
 (15)

Given that the beam is clamped at x = 0, the slope of the beam at this point will be zero. Solving for M_A in Eq. (4) and R_A in Eq. (2) and substituting both into Eq. (15), we find:

$$w'(x') = \frac{1}{EI_{z,y_0}} \left(x'^{2} \frac{(F_0 - R_{spring})}{2} + x' \frac{L}{2} (R_{spring} - 2F_0) \right)$$
 (16)

From section B to C we get:

$$w'(x') = \frac{1}{EI_{z,y_0}} \int_{\frac{L}{2}}^{x'} (F_0(x'' - L)) dx''$$
 (17)

$$= \frac{1}{EI_{z,y_0}} \left[\frac{F_0}{2} \left({x'}^2 - \frac{L^2}{4} \right) - F_0 L \left(x' - \frac{L}{2} \right) \right] + w'(x' = \frac{L}{2})$$
 (18)

Solving for $w'\left(x'=\frac{L}{2}\right)$ from the derivative of the deflection for the AB section:

$$w'\left(x' = \frac{L}{2}\right) = \frac{1}{EI_{Z,V_0}} \left(-3F_0 + R_{spring}\right) \frac{L^2}{8}$$
 (19)

Substituting $w'\left(x'=\frac{L}{2}\right)$ into Eq. (17), we find that:

$$w'(x') = \frac{1}{EI_{z,y_0}} \left(\frac{F_0}{2} x'^2 - F_0 L x' + \frac{R_{spring} L^2}{8} \right)$$
 (20)

Note that we are leaving the derivative as a function of F_0 and R_{spring} which we will calculate once we have calculated the overall deflection.

(e) Deflection of the Beam w(x)

Deflection of the beam from A to B:

$$w(x) - w(x = 0) = \int_0^x w'(x') dx'$$
 (21)

$$w(x) = \frac{1}{EI_{z,y_0}} \left(x^3 \left(\frac{F_0 - R_{spring}}{6} \right) + x^2 \frac{L}{4} \left(R_{spring} - 2F_0 \right) \right)$$
 (22)

Now we can write the deflection for $x = \frac{L}{2}$:

$$w\left(x = \frac{L}{2}\right) = \frac{L^3}{EI_{Z,V_0}} \left(\frac{R_{spring}}{24} - \frac{5F_0}{48}\right) \tag{23}$$

Deflection of the beam from B to C:

$$w(x) - w\left(x = \frac{L}{2}\right) = \int_{L/2}^{x} w'(x') dx'$$

$$w(x) - w\left(x = \frac{L}{2}\right) = \frac{1}{EI_{z,y_0}} \left(F_0\left(\frac{5L^3}{48} - \frac{Lx^2}{2} + \frac{x^3}{6}\right) + R_{spring}\left(\frac{xL^2}{8} - \frac{L^3}{16}\right)\right)$$

$$w(x) = \frac{1}{EI_{z,y_0}} \left(\frac{F_0}{6}x^3 - \frac{F_0}{2}Lx^2 + \frac{R_{spring}}{8}L^2x - \frac{R_{spring}}{48}L^3\right)$$

Now we combine Eqs. (9b.1.5) and (9b.1.22) to estimate the reaction of the spring, taking into account that the cross section is squared and the value for $k = \frac{2Et^2}{l}$:

$$R_{spring} = -k \ w \left(\frac{L}{2}\right) = -k \cdot \frac{L^3}{EI_{z,y_0}} \left(\frac{R_{spring}}{24} - \frac{5F_0}{48}\right) = -\left(\frac{2Et^2}{L}\right) \frac{L^3}{E\left(\frac{t^4}{12}\right)} \left(\frac{R_{spring}}{24} - \frac{5F_0}{48}\right)$$

$$R_{spring} = -\left(\frac{L}{t}\right)^2 \left(R_{spring} - \frac{5}{2}F_0\right) \to R_{spring} = \frac{\left(\frac{L}{t}\right)^2 \frac{5}{2}F_0}{1 + \left(\frac{L}{t}\right)^2} \approx \frac{5}{2}F_0$$

It is important to note that in Eq. (9b.1.27) we have used the fact that $\left(\frac{L}{t}\right)^2 = 100 \gg 1$, which allows us to perform the approximation with only around 1% error.

Now we can calculate all three reactions:

$$R_{spring} \approx \frac{5}{2} F_0$$
 $R_A \approx -\frac{3}{2} F_0$ $M_A \approx -\frac{F_0 L}{4}$

We then use Eq. (9b.1.7) to properly plot the shear force diagram and the bending moment considering that F_0 is positive:

Shear force diagram

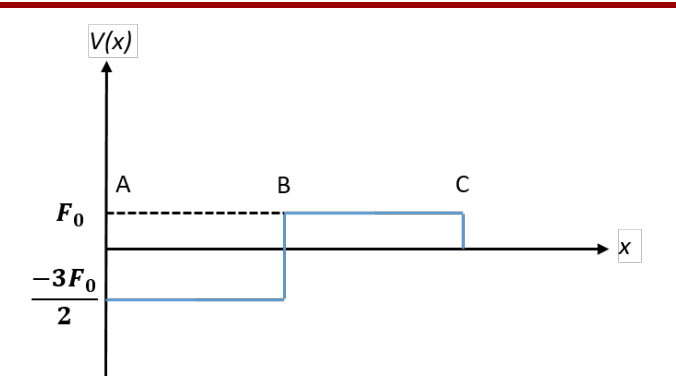


Figure 9b.2.5 | Shear Force Diagram

Bending Moment Diagram

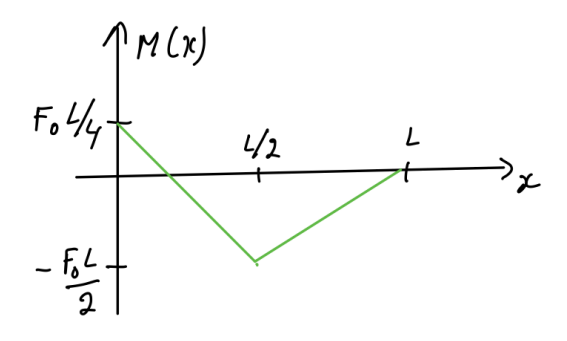


Figure 9b.2.6 | Bending Moment Diagram

Derivative of the Deflection w'(x)

$$w'(x) \approx \begin{cases} \frac{F_0}{4EI_{z,y_0}} (-3x^2 + xL) & x < \frac{L}{2} \\ \frac{F_0}{2EI_{z,y_0}} \left(x^2 - 2xL + \frac{5L^2}{8} \right) & x > \frac{L}{2} \end{cases}$$

Deflection w(x)

$$w(x) \approx \begin{cases} \frac{F_0}{4EI_{z,y_0}} x^2 \left(\frac{L}{2} - x\right) & x < \frac{L}{2} \\ \left\{ \frac{F_0}{2EI_{z,y_0}} \left(-\frac{5L^3}{48} + \frac{5}{8}xL^2 - Lx^2 + \frac{x^3}{3} \right) & x > \frac{L}{2} \end{cases}$$



9b.3 Question <u>très courte</u> – Question conceptuelle sur le problème 9b.2

Dans le problème précèdent (9b.1), vous avez résolu un système qui incluait un ressort.

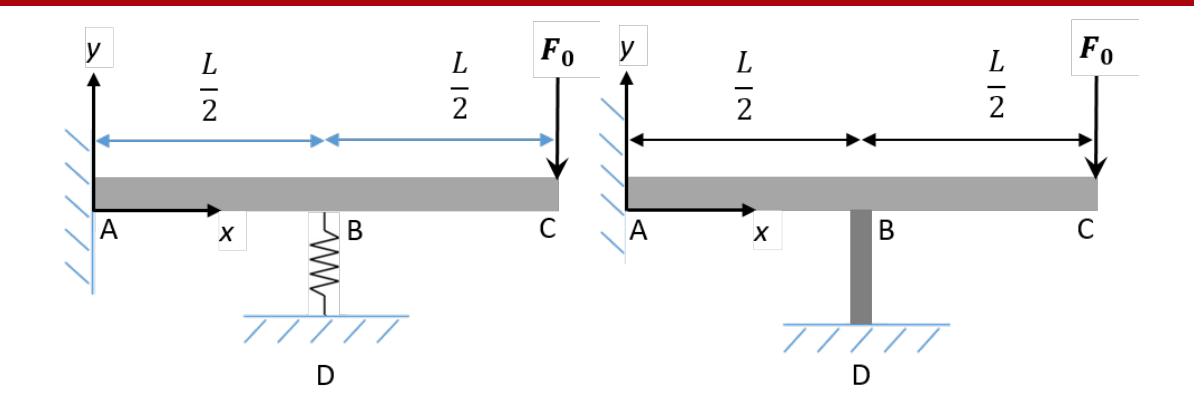


Figure 9b.3.1 | Première poutre avec le ressort (gauche); Poutre avec une barre (droite)

Comment modifieriez-vous vos calculs si le ressort était remplacé par une poutre déformable?

9b.3. **Solution**

In many ways, the calculations in Problem 9b.2 would not be changed by replacing the spring with a beam. The system would still be indeterminate and one would still need to solve for the reaction force, this time for the beam. The force felt by the beam would be:

$$R_{bar} = k \cdot w \left(x = \frac{L}{2} \right) = \frac{AE}{l} \cdot w \left(x = \frac{L}{2} \right)$$

Where l, A and E are the length, cross section area and Young's Modulus of the support beam, respectively.

However, the vertical beam would also add a bending moment to the horizontal beam. And so the problem becomes more complex, as one then has a restoring spring force R_{bar} , and a restoring spring moment M_{bar} . We then have two indeterminates.



9b.4 Support Élastique – Charge uniforme

Une poutre AC est soumise à une charge uniformément répartie (voir Figure 9b.4.1). Sa longueur est 2L = 2m.

Quel est la constante du ressort k nécessaire pour avoir un moment de

flexion en B :
$$M_B = -\frac{qL^2}{10}$$
 ?

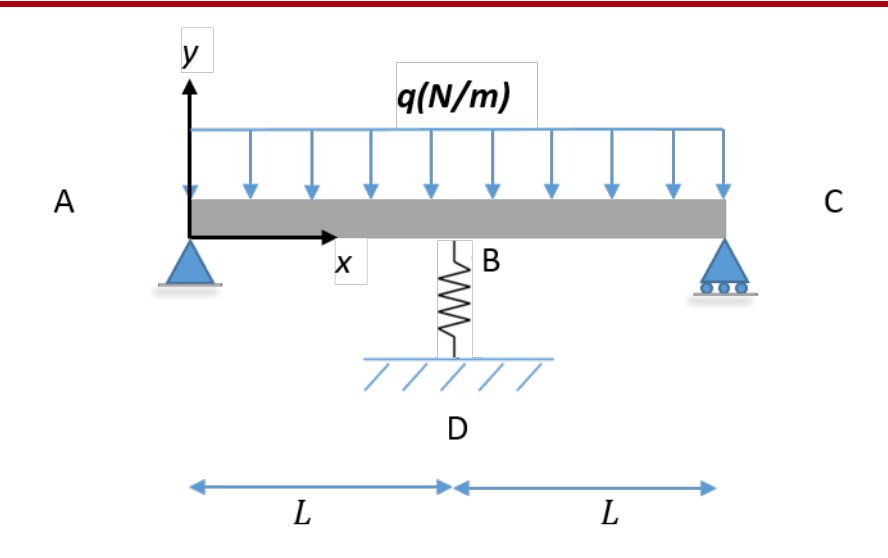


Figure 9b.4.1 | Poutre avec une charge uniforme répartie

9b.4. Solution

What is given?

$$L = 1 m$$

$$M_B = -\frac{qL^2}{10}$$
 c'est une donnée du problème!

What is asked?

Spring constant *k* for given bending moment at point B

Principles and formula

The basic procedure for this problem is to first calculate the value of the reaction force from the spring on the beam, then calculate the deflection of the beam at the point where the spring is. The ratio between them would give us k through Equation $R_{spring} = -k \cdot w(x = L)$.

Il nous faut donc trouver: i) R_{spring} et ii) w(x = L) afin de connaître k

Reaction Forces:

We calculate the reaction forces based on the free body diagram shown in Figure 9b.4.2.

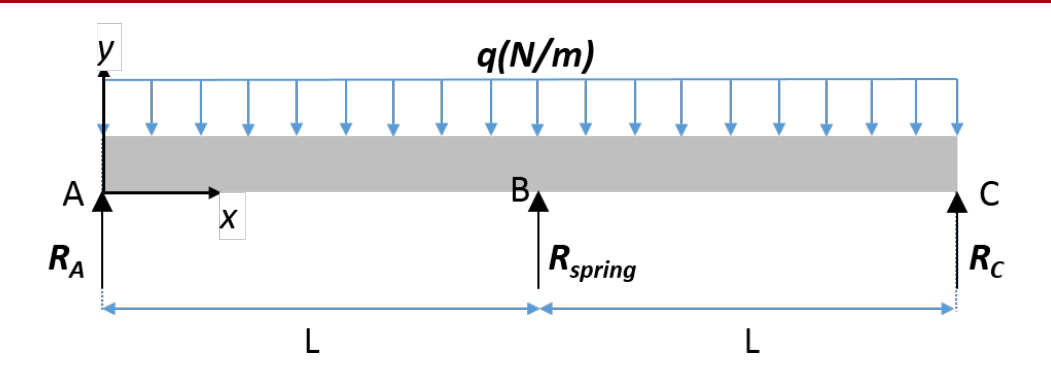


Figure 9b.4.2 | Free body diagram

The equilibrium of forces in *y* axis yields:

$$\Sigma F_y = 0 \implies R_A + R_C + R_{spring} - \int_0^{2L} q \, dx = R_A + R_C + R_{spring} - 2qL = 0$$

$$R_A + R_C + R_{spring} = 2qL$$

From the equilibrium of the moment M_Z about point A, we get:

$$\Sigma M_z = 0 \implies R_{spring}L + R_C(2L) - \int_0^{2L} q \cdot x \, dx = R_{spring}L + R_C(2L) - q \frac{(2L)^2}{2} = 0$$

$$R_{spring} + 2R_C = 2qL \tag{9b.3.5}$$

Comparing Eq. (9b.3.3) and (9b.3.5) gives us:

$$R_A = R_C$$

(we could also have found this by the symmetry of the problem)

We can use two different methods to find the shear force and the bending moment: differential, and by sections

<u>Differential method for M(x) in order to find R_{spring} :</u>

Shear Force V(x):

From A to B the shear force is defined as:

$$V_1(x) - V_1(x = 0) = \int_0^x -q \, dx' = -qx$$

$$V_1(x) = V_1(x = 0) - qx = R_A - qx$$

From B to C we have the same integral as in Eq. (9b.3.7) but we need to account for the discontinuity at x = L:

$$V_2(L^+) - V_1(L^-) = R_{spring}$$

Then, from B to C:

$$V_2(x) = R_{spring} + R_A - qx$$

Bending Moment M(x):

$$M_z(x) = \int_0^x V(x') \, dx'$$

In the section from A to B:

$$M_1(x) = \int_0^x (R_A - qx')dx' = R_A x - q \frac{x^2}{2}$$

$$M_1(x=L) = R_A L - \frac{qL^2}{2}$$

In the section from B to C:

$$M_{2}(x) - M_{z}(x = L) = \int_{L}^{x} (R_{spring} + R_{A} - qx')dx'$$

$$M_{2}(x) = M_{z}(x = L) + (R_{A} + R_{spring})(x - L) - q\frac{x^{2} - L^{2}}{2}$$
(9b.3.13):

It is given that $M_Z(x=L)=-\frac{qL^2}{10}$, therefore inserting that into using Eq. (9b.3.13), we get:

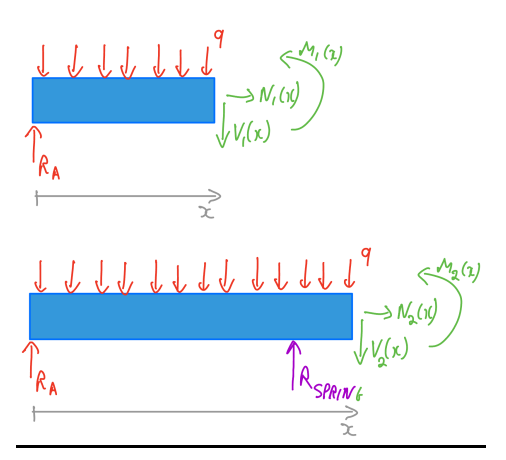
$$M_z(x = L) = R_A L - \frac{qL^2}{2} = -\frac{qL^2}{10} \rightarrow R_A = \frac{qL}{2} - \frac{qL}{10} = \frac{2}{5}qL$$

Knowing $R_C = R_A$, we can substitute the value of R_C into Eq. (9b.3.5) to find R_{spring}

$$R_{spring} = 2qL - 2R_C = \frac{6}{5}qL$$

Méthode des sectionspour M(x):





Shear Force V(x):

Pour la section AB:

$$V_1(x) - R_A + \int_0^x q \ dx = 0 \Leftrightarrow V_1(x) = R_A - qx$$

Pour la section BC:

$$V_2(x) - R_A - R_{spring} + \int_0^x q \ dx = 0 \Leftrightarrow V_2(x) = R_A + R_{spring} - qx$$

Bending Moment:

Pour la section AB:

$$M_1(x) - R_A x + \int_0^x qx \ dx = 0 \Leftrightarrow V_1(x) = R_A x - q \frac{x^2}{2}$$

Pour la section BC:

$$M_2(x) - R_A x - R_{spring}(x - L) + \int_0^x qx \ dx = 0 \Leftrightarrow M_2(x) = R_A x + R_{spring}(x - L) - q \frac{x^2}{2}$$

On peut ainsi calculer R_A en utilisant que $M_Z(x=L)=-\frac{qL^2}{10}$:

$$M_z(x = L) = R_A L - \frac{qL^2}{2} = -\frac{qL^2}{10} \rightarrow R_A = \frac{qL}{2} - \frac{qL}{10} = \frac{2}{5}qL$$

Knowing $R_C = R_A$, we can substitute the value of R_C into Eq. (9b.3.5) to find R_{spring}

$$R_{spring} = 2qL - 2R_C = \frac{6}{5}qL$$

On peut vérifier que les résultats sont les mêmes avec les deux méthodes, notamment pour M_2 . En reprenant la formule trouvée par la méthode différentielle:

$$M_2(x) = M_z(x = L) + (R_A + R_{spring})(x - L) - q \frac{x^2 - L^2}{2}$$

$$M_2(x) = -\frac{qL^2}{10} + R_A x - R_A L + R_{spring}(x - L) - q \frac{x^2}{2} + q \frac{L^2}{2}$$

$$M_2(x) = -\frac{qL^2}{10} + R_A x - \frac{2}{5}qL^2 + R_{spring}(x - L) - q\frac{x^2}{2} + q\frac{L^2}{2}$$

$$M_2(x) = R_A x + R_{spring}(x - L) - q\frac{x^2}{2}$$

On retrouve le même résultat avec les deux méthodes.

Deflection w(x): par integration de M(x) ou par superposition avec tabelles

Encore une fois, nous avons deux méthodes possible pour trouver w(x)

Integration:

The curvature of the beam due to bending moments at any point is given by:

$$\frac{d^2w}{dx^2} = \frac{M_Z(x)}{EI_{Z,y_0}}$$

Hence we can calculate the deflection of the beam by double integration of Eq. (9b.3.18).

$$w = \frac{1}{EI_{z,y_0}} \int_0^x \left(\int_0^{x'} M_z(x'') dx'' \right) dx'$$

In the section from A to B:

$$w(x) = \frac{1}{EI} \int_0^x \left(\int_0^{x'} \left(R_A x'' - q \frac{x''^2}{2} \right) dx'' \right) dx'$$

$$w(x) = \int_0^x \left[\frac{1}{EI_{z,y_0}} \left(\frac{qLx'^2}{5} - \frac{qx'^3}{6} \right) + w'(x = 0) \right] dx'$$

$$w(x) = \frac{1}{EI_{z,y_0}} \left(\frac{qLx^3}{15} - \frac{qx^4}{24} + \right) + x \cdot w'(x = 0)$$

To calculate the value of the slope at the origin (w'(x=0)), we need to use another kinematic boundary condition. This can be for example the fact that the deflection at the end is zero. Another possibility is to consider that the system is symmetric with respect to x=L, which means that the slope at that point must be zero. Therefore:

$$w'(x = L) = 0 = \frac{1}{EI_{z,y_0}} \left(\frac{qL^3}{5} - \frac{qL^3}{6} \right) + w'(x = 0)$$
$$w'(x = 0) = -\frac{1}{EI_{z,y_0}} \frac{q}{30} L^3$$

Now we can write the deflection for x = L:

$$w(x = L) = \frac{1}{EI_{z,y_0}} \left(\frac{qL^4}{15} - \frac{qL^4}{24} - \frac{q}{30}L^4 \right)$$

$$w(x = L) = -\frac{qL^4}{120EI_{z,y_0}}$$

The deflection calculated for length L is equal to the deflection of the spring δ . Therefore:

$$-k = \frac{w(x = L)}{R_{spring}}$$

$$k = \frac{6}{5}qL \cdot \frac{120EI_{z,y_0}}{qL^4} = 144\frac{EI_{z,y_0}}{L^3}$$

Par Superposition:



$$v = -\frac{Px}{48EI}(3L^{2} - 4x^{2}) \quad v' = -\frac{P}{16EI}(L^{2} - 4x^{2}) \quad \left(0 \le x \le \frac{L}{2}\right)$$

$$\delta_{C} = \delta_{\max} = \frac{PL^{3}}{48EI} \quad \theta_{A} = \theta_{B} = \frac{PL^{2}}{16EI}$$

Nous avons dans ce cas seulement besoin calculer la déflection pour la section AB, puisqu'on cherche $R_{spring} = -k \cdot w(x=L)$

On obtient directement:

$$w(x) = \frac{-qx}{24EI}(L^3 - 2Lx^2 + x^3) + \frac{R_{spring}x}{48EI}(3L^2 - 4x^2)$$
 0\le x\le L

Attention: ici la longueur totale de la poutre est 2L:

$$w(x) = \frac{-qx}{24EI}(8L^3 - 4Lx^2 + x^3) + \frac{R_{spring}x}{48EI}(12L^2 - 4x^2)$$

On peut maintenant écrire la déflection pour x = L:

$$w(x = L) = \frac{-q}{24EI}(8L^4 - 4L^4 + L^4) + \frac{R_{spring}}{48EI} \left(12L^3 - 4L^3\right) = \frac{-q}{24EI}(5L^4) + \frac{\frac{6}{5}qL}{48EI}(8L^3)$$

$$w(x = L) = \frac{-qL^4}{EI} \left(\frac{-5}{24} + \frac{48}{240}\right) = \frac{-qL^4}{EI} \left(\frac{-2}{240}\right) = -\frac{qL^4}{120EI_{z,y_0}}$$

$$-k = \frac{R_{spring}}{w(x = L)}$$

$$k = \frac{6}{5}qL \cdot \frac{120EI_{z,y_0}}{qL^4} = 144\frac{EI_{z,y_0}}{L^3}$$

On retrouve bien sur le même résultat par les deux méthodes.



9b.5 Support elastique - poutres croisées

Deux poutres AB et CD, disposées dans le plan horizontal se croisent à angle droit et supportent ensemble une charge P en leur milieu (voir Figure 9b.5.1). Avant que la charge P soit appliquée, les poutres ne font que se toucher (sans appliquer de charge l'une sur l'autre). Les matériaux des deux poutres ainsi que leurs largeurs sont les mêmes. Les deux poutres sont en appui simple à leurs extrémités.

La longueur de AB et CD sont LAB et LCD respectivement.

Quel doit être le ratio t_{AB}/t_{CD} des épaisseurs des poutres pour que les quatre réactions (en A,B, C, et D) soient les mêmes ?

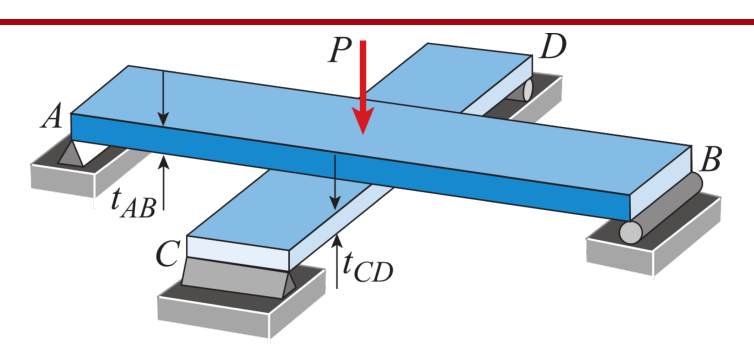


Figure 9b.5.1 | Poutres croisées, en appui simples à leurs extrémités.

9b.5. Solution

What is given?

- Beams are simply-supported
- Beams have the same width
- P is applied in the middle of the two beams
- The two beams are in contact before applying the load
- Materials are the same

Assumptions

The material is homogeneous and isotropic.

What is asked?

Ratio t_{AB}/t_{CD} in order to get the same reactions.

Principles and formula

If we want the four reactions to be the same, each beam must carry exactly one-half of the load P. see free body diagram

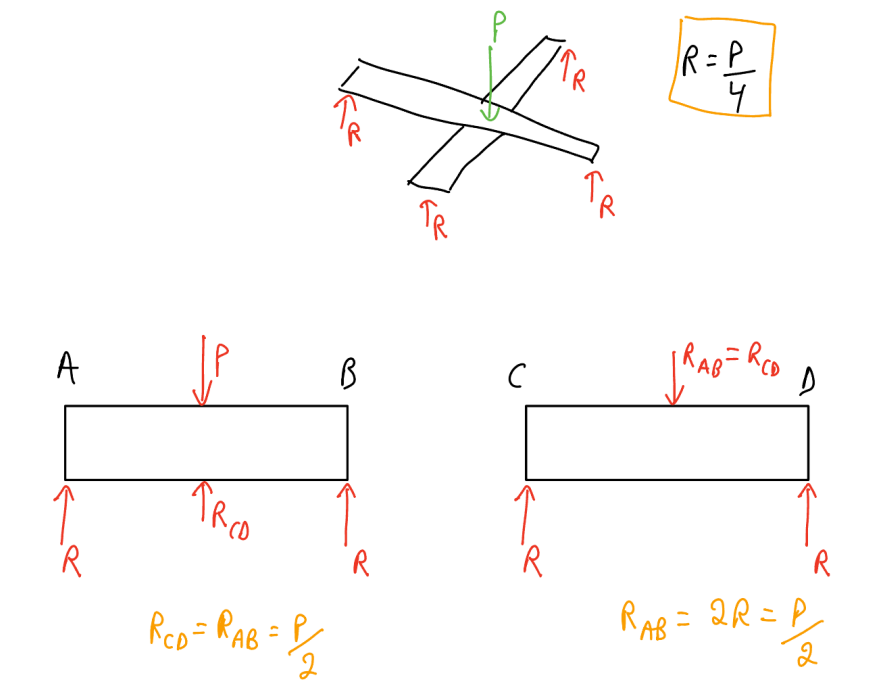


Diagramme des Forces pour système entier, et pour poutres AB et CD

Given that the beams are in contact at the start, their deflection at their central point is going to be the same. $\delta_{AB}\left(\frac{L_{AB}}{2}\right)=\delta_{CD}\left(\frac{L_{AB}}{2}\right)$

We can use the formula for a simply-supported beam (see Figure 9b.5.2).

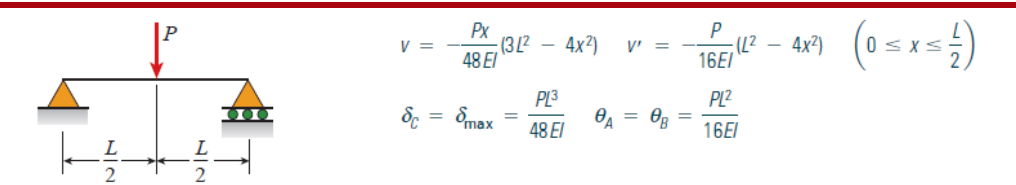


Figure 9b.5.2 | Formulas for the deflexion of simply-supported beams with a load in their center.

$$\delta_{AB}\left(\frac{L_{AB}}{2}\right) = \frac{\left(\frac{P}{2}\right)L_{AB}^3}{48EI_{AB}} \qquad \qquad \delta_{CD}\left(\frac{L_{CD}}{2}\right) = \frac{\left(\frac{P}{2}\right)L_{CD}^3}{48EI_{CD}}$$

Given that the deflections are equal at the center:

$$\frac{L_{AB}^3}{I_{AB}} = \frac{L_{CD}^3}{I_{CD}}$$

note that I_{AB} scales at t^3 so $\frac{t_{AB}}{t_{CD}} = \frac{L_{AB}}{L_{CD}}$



9b.6 Poutres avec support élastique

Deux poutres CE et FD sont assemblées en un point D (voir Figure 9b.6.1). La poutre CE est encastrée à une extrémité et libre à son autre extrémité, elle est soumise à une charge uniforme q. La poutre FD joue le rôle d'un support élastique au point D. On suppose qu'elle n'exerce que des efforts verticaux (dans la direction y).

Le moment d'inertie, la surface de la section et le module de Young de la poutre CE sont notés IP, AP et E_P. Ceux de la poutre FD sont notés I_R, A_R et E_R. Les distances CD, DE et FD sont respectivement L₁, L₂ et L₃.

Donnez l'expression de la flèche au point D.

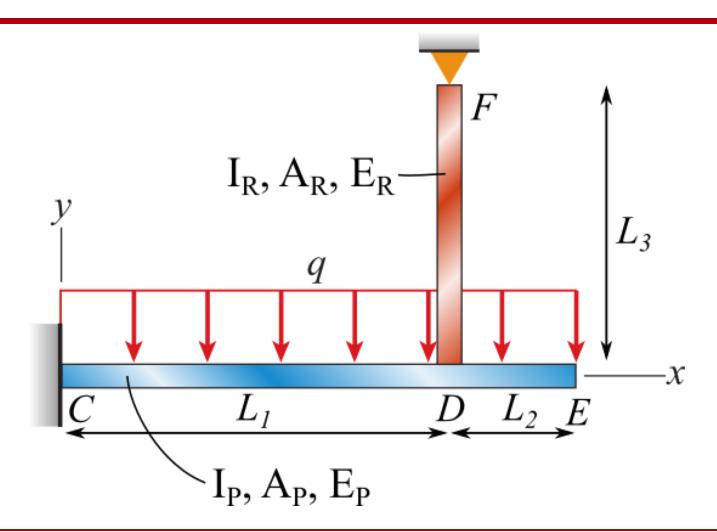


Figure 9b.6.1 | Assemblage de poutres. CE est soumise à une charge uniforme q. FD joue le rôle de support élastique.

9b.6. Solution

The easiest method to solve this problem is to use superposition. However, it is also possible to solve it using the integration method (we will show both methods).

Superposition:

First, we can separate the system into two subsystems and draw their free body diagram as shown in Figure 9b.6.2.

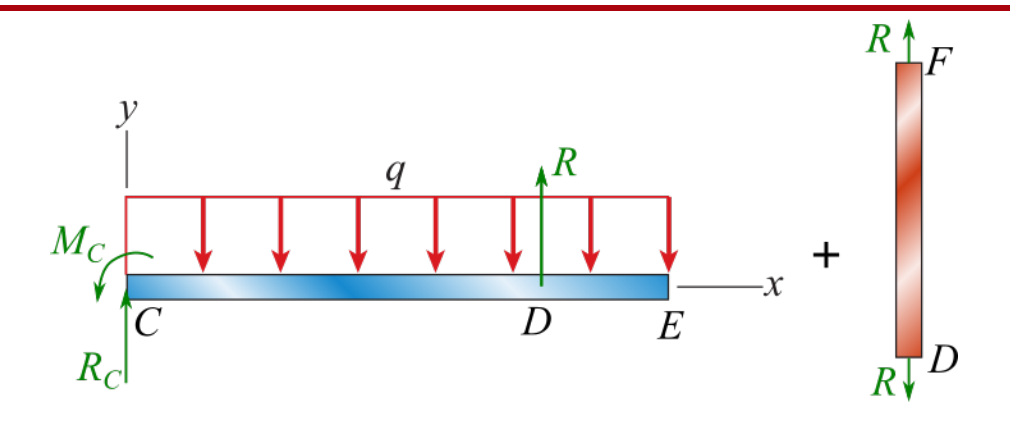


Figure 9b.6.2 | Free body diagrams of the two subsystems.

The subsystem FD is in tension (i.e. the bar is stretched down and so exerts a force upward on beam CE). so we can write the deflection of point D as:

$$w_D = -\frac{R}{k}$$

Where $k = A_R E_R / L_3$ is the equivalent stiffness of the bar FD in elongation

The deflection at point D can also be written by applying flexion theory on beam CE. For this, we can separate the load into two different loading conditions (see Figure 9b.6.3) and sum up the corresponding beam deflection equations.

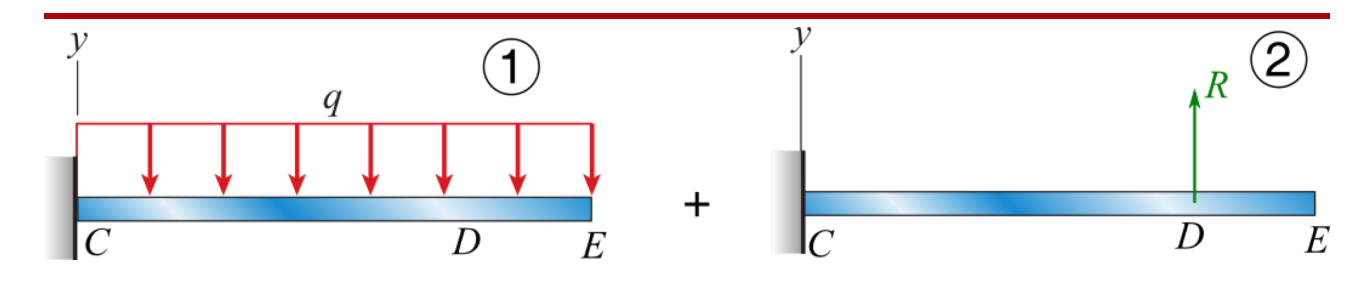


Figure 9b.6.3 | Loading is divided into two different simple configurations that can be added.

Using the formulas for simple loading case of clamped beams, we can write:

$$w_1(x) = -\frac{qx^2}{24E_pI_p} \left[6(L_1 + L_2)^2 - 4(L_1 + L_2)x + x^2 \right]$$

$$w_2(x) = \frac{Rx^2}{6E_p I_p} [3L_1 - x] \qquad x \le L_1$$

We can then sum these two equations to get the deflection at point D.

$$w_D = w_1(L_1) + w_2(L_1)$$

$$w_D = -\frac{qL_1^2}{24E_pI_p} \left[6(L_1 + L_2)^2 - 4(L_1 + L_2)L_1 + L_1^2 \right] + \frac{RL_1^2}{6E_pI_p} \left[3L_1 - L_1 \right]$$

$$w_D = -\frac{qL_1^2}{24E_nI_n} \left[3L_1^2 + 8L_1L_2 + 6L_2^2 \right] + \frac{RL_1^3}{3E_nI_n}$$

Using compatibility of (9b.5.1) and (9b.5.4), we can write:

$$\begin{split} -\frac{R}{k} &= -\frac{q(L_1)^2}{24E_pI_p} \left[3L_1^2 + 8L_1L_2 + 6L_2^2 \right] + \frac{RL_1^3}{3E_pI_p} \\ R\left[-\frac{1}{k} - \frac{L_1^3}{3E_pI_p} \right] &= -\frac{q(L_1)^2}{24E_pI_p} \left[3L_1^2 + 8L_1L_2 + 6L_2^2 \right] \end{split}$$

Given that the stiffness k can be computed as:

$$k = \frac{E_R A_R}{L_3}$$

It is possible to write the reaction force *R* at point D as:

$$R = \frac{q(L_1)^2}{24E_p I_p} \frac{[3L_1^2 + 8L_1L_2 + 6L_2^2]}{\left[\frac{L_3}{E_R A_R} + \frac{L_1^3}{3E_p I_p}\right]}$$

And the deflection as:

$$w_D = -\frac{R}{k} = -\frac{q(L_1)^2}{24E_p I_p} \frac{\left[3L_1^2 + 8L_1L_2 + 6L_2^2\right]}{\left[\frac{L_3}{E_R A_R} + \frac{L_1^3}{3E_p I_p}\right]} \frac{L_3}{E_R A_R}$$

$$w_D = -\frac{qL_3(L_1)^2}{8} \frac{\left[3L_1^2 + 8L_1L_2 + 6L_2^2\right]}{\left[3L_3E_p I_p + E_R A_R L_1^3\right]}$$

Par intégration:

Pour pouvoir calculer la déflection, il nous faut d'abord les moments de flexion.

On commencer par calculer les forces de réaction du système.

(a) Forces de réaction au point A

On calcule les forces de réaction à partir du diagramme des forces de la poutre entière (Figure 9b.6.2):

En sommant les forces, on a:

$$\Sigma F_y = R_c + R - \int_0^{L_1 + L_2} q \, dx = 0 \to R_c = q(L_1 + L_2) - R$$

En utilisant l'équilibre des moments M_y , on déduit le moment M_c :

$$\Sigma M_y = 0 \rightarrow M_c + RL_1 - \int_0^{L_1 + L_2} qx \, dx = 0 \rightarrow M_c = \frac{q(L_1 + L_2)^2}{2} - RL_1$$

(b) Forces de cisaillement

Sur cette poutre, deux forces externes sont appliquées: la première est distribuée uniformément sur toute la longueur de la poutre, et la seconde est une charge appliquée à $x = L_1$.

On peut ainsi trouver ce diagramme par deux méthodes: méthode des sections et méthode différentielle.

Méthode des sections: Nous allons considérer puis analyser deux parties distinctes de la poutre:

- De A à C ($x < L_1$):

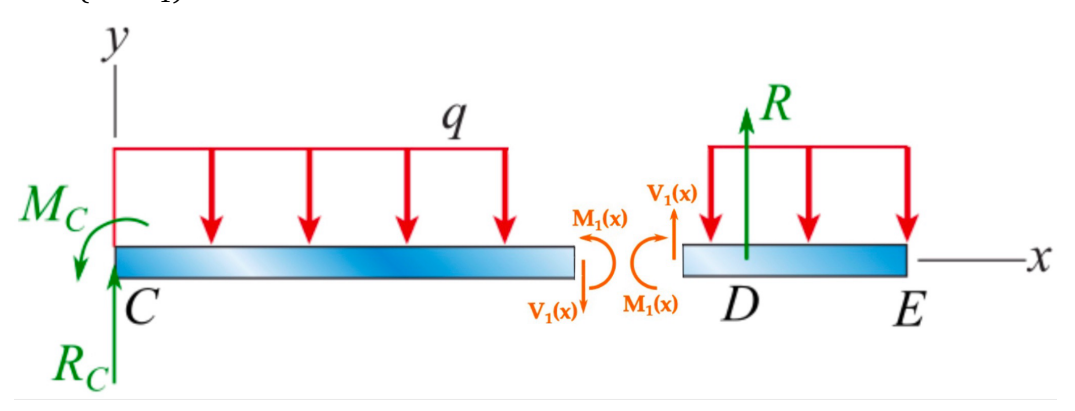


Figure 9b.6.4 | Diagramme des forces et forces internes pour $x < L_1$

On peut écrire la formule de l'équilibre des forces pour la partie de gauche comme illustré sur la Figure 8.1.3:

$$V_1(x) - R_C + \int_0^x q \ dx = 0 \Leftrightarrow V_1(x) = R_C - qx$$

- De C à D ($x \ge L_1$):

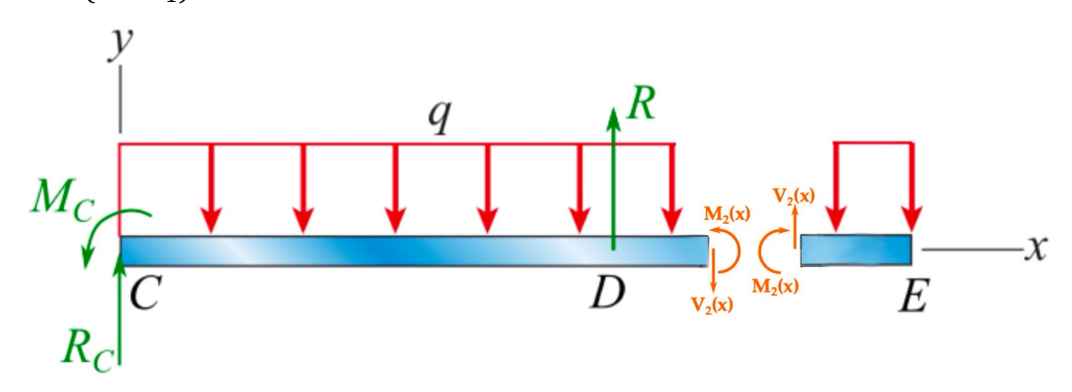


Figure 9b.6.5 | Diagramme des forces et forces internes pour $x \ge L_1$



Comme nous l'avons fait précédemment, nous écrivons la formule de l'équilibre des forces pour la partie de gauche comme illustré sur la Figure 9b.6.5:

$$V_2(x) - R - R_c + \int_0^x q \, dx = 0 \Leftrightarrow V_2(x) = R_C + R - qx$$

Méthode différentielle: On considère tout d'abord la charge distribuée appliquée sur la poutre:

$$q(x) = q \quad x \in [0; L_1 + L_2]$$

Pour la force de cisaillement, on utilise la

relation
$$V(x) = -\int q(x)dx$$

$$V_1(x) = -qx + C_1 \qquad x \in [0; L_1]$$

$$V_2(x) = -qx + C_2$$
 $x \in [L_1; L_1 + L_2]$

Avec la condition aux bords: $V_1(x = 0) = R_C$

et en utilisant l'équilibre des forces en $x = L_1$:

$$V_1(x = L) + R = V_2(x = L)$$

On obtient:

$$V_1(x) = -qx + R_C x \in [0; L_1]$$

$$V_2(x) = -qx + R + R_C x \in [L_1; L_1 + L_2]$$



Encore une fois, il est possible de trouver ce diagramme par les deux méthodes.

Méthode des sections:

De A à C ($x < L_1$) en regardant la partie de gauche:

$$M_1(x) - R_C x + \int_0^x qx \, dx + M_C = 0 \Leftrightarrow M_1(x) = R_C x - q \frac{x^2}{2} - M_C$$

De C à B $(x \ge L_1)$ en regardant la partie de gauche:

$$M_2(x) - R(x - L_1) - R_C x + \int_0^x qx \, dx + M_C = 0 \Leftrightarrow M_2(x) = (R_C + R)x - RL_1 - q \frac{x^2}{2} - M_C$$

Méthode différentielle:

On sait que $M(x) = \int V(x)dx$

$$M_1(x) = -q \frac{x^2}{2} + R_C x + C_3 \qquad x \in [0; L_1]$$

$$M_2(x) = -q \frac{x^2}{2} + (R_C + R)x + C_4 \qquad x \in [L_1; L_1 + L_2]$$

Avec la condition aux bords: $M_1(x = 0) = -M_C$

et la continuité du moment:

$$M_1(x = L_1) = M_2(x = L_1) \Leftrightarrow -q \frac{{L_1}^2}{2} + R_C L_1 - M_C = -q \frac{{L_1}^2}{2} + (R_C + R)L_1 + C_4$$

On obtient ainsi:

$$M_1(x) = -q \frac{x^2}{2} + R_C x - M_C \quad x \in [0; L_1]$$

$$M_2(x) = -q \frac{x^2}{2} + (R_C + R)x - RL_1 - M_C \quad x \in [L_1; L_1 + L_2]$$

On a le même résultat dans les deux cas

(d) Déflection de la poutre

On peut calculer l'équation de la déflection de la poutre par double intégration de M(x):

$$w = \frac{1}{EI} \int_0^x \left(\int_0^{x'} M(x'') dx'' \right) dx'$$

Pour pouvoir appliquer cette formule, il faut faire attention à calculer d'abord la dérivée de la déflection, qui doit être continue en $x=L_1$. Il ne faut pas non plus oublier que le moment est en deux parties. Cependant, puisqu'on cherche $w(x=L_1)$, on se contentera d'intégrer la première formule du moment.

On obtient ainsi:

Pour $x \leq L_1$:

$$w'^{(x)} - w'^{(0)} = \frac{1}{EI} \int_0^x M_1(x') dx' \iff w'(x) = \frac{1}{EI} \left(-q \frac{x^3}{6} + R_C \frac{x^2}{2} - M_C x \right)$$
Poutre encastrée à x=0 \(\rightarrow w'(0) = 0 \)

On peut maintenant intégrer une nouvelle fois pour obtenir la déflection.

Pour $x \leq L_1$:

$$w(x) - w(x = 0) = \int_0^x w'(x')dx' \Leftrightarrow w(x) = \frac{1}{EI}(-q\frac{x^4}{24} + R_C\frac{x^3}{6} - M_C\frac{x^2}{2})$$

Poutre encastrée à $x=0 \rightarrow w(0) = 0$

On remplace les forces de réactions par les valeurs trouvées en (a):

$$w(x) = \frac{1}{EI} \left(-q \frac{x^4}{24} + (q(L_1 + L_2) - R) \frac{x^3}{6} - (\frac{q(L_1 + L_2)^2}{2} - RL_1) \frac{x^2}{2} \right)$$

On peut maintenant calculer la déflection au point D ($x=L_1$):

$$w(x = L_1) = w_D = \frac{1}{EI} \left(-q \frac{L_1^4}{24} + (q(L_1 + L_2) - R) \frac{L_1^3}{6} - (\frac{q(L_1 + L_2)^2}{2} - RL_1) \frac{L_1^2}{2} \right)$$

$$w_D = -\frac{qL_1^2}{24E_p I_p} \left[L_1^2 - 4(L_1 + L_2)L_1 + 6(L_1 + L_2)^2 \right] + \frac{R(\frac{-L_1^3}{2} + \frac{3L_1^3}{2})}{3E_p I_p}$$

$$w_D = -\frac{qL_1^2}{24E_n I_n} \left[3L_1^2 + 8L_1L_2 + 6L_2^2 \right] + \frac{RL_1^3}{3E_n I_n}$$

On retrouve bien la même valeur qu'avec la méthode de superposition, seulement avec un peu plus d'effort!



9b.7. Solution

Nous sommes dans le cas d'une poutre avec des forces redondantes. Nous avons quatre inconnues (M_A, R_A, R_B, R_C) pour seulement deux équations $(\Sigma F_y, \Sigma M_z)$ comme illustré par le diagramme des forces de la Figure 9.7.1.

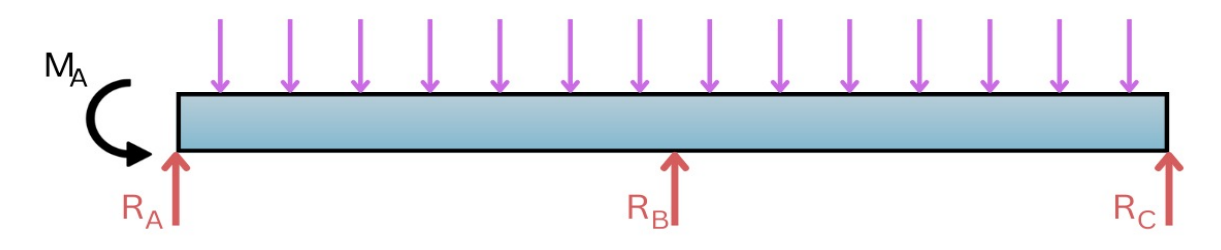


Figure 9b.7.1 | Diagramme des forces

Nous allons donc utiliser la méthode de superposition. Pour cela, il est important de bien choisir les redondants. Le critère que nous allons utiliser est le suivant: nous souhaitons (pour aller plus vite) utiliser la Table de Gere-Goodno. Pour cela, nous avons donc besoin de pouvoir retrouver chaque poutre que nous allons utiliser dans le dit formulaire.

Basé sur ce critère, on peut établir que si on choisit comme redondant:

- M_A et R_A : pas dans le formulaire, il faudrait procéder par intégration
- M_A et R_B : on retrouve une poutre avec un pivot à gauche et un support à droite, soit la table G-2.
- M_A et R_C : pas dans le formulaire, il faudrait procéder par intégration
- R_A et R_B : pas dans le formulaire, il faudrait procéder par intégration
- R_A et R_C : pas dans le formulaire, il faudrait procéder par intégration
- R_B et R_C : on retrouve une poutre avec un encastrement à gauche et une extrémité libre à droite, soit la table G-1.

Nous allons donc traiter les deux cas où la superposition peut être utilisée:

cas 1: M_A et R_B sont les redondants : On peut séparer la poutre en 3 parties: la première avec les charges mais sans les redondants, puis les autres avec chacune respectivement un redondant. Attention, on remarque que dans le formulaire, M_0 et P sont dans la direction opposée de M_A et R_B il faudra donc bien penser à changer le signe.



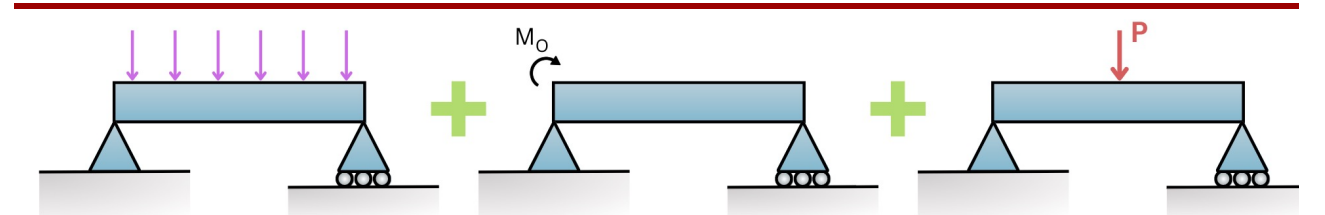


Figure 9b.7.2 | Superposition à effectuer dans le cas 1: M_A et R_B comme redondants

Poutre a):
$$w(x) = \frac{-qx}{24EI}(L^3 - 2Lx^2 + x^3)$$
 $w'(x) = \frac{-q}{24EI}(L^3 - 6Lx^2 + 4x^3)$

Poutre b):
$$w(x) = \frac{M_A x}{6LEI} (2L^2 - 3Lx + x^2)$$
 $w'(x) = \frac{M_A}{6LEI} (2L^2 - 6Lx + 3x^2)$

Poutre c):
$$w(x) = \frac{R_B x}{48EI} (3L^2 - 4x^2)$$
 $x \le L/2$ $w'(x) = \frac{R_B}{16EI} (L^2 - 4x^2)$ $x \le L/2$

On utilise maintenant les équations de compatibilité au point où le redondant est appliqué.

On a dans ce cas: i) Angle bloqué par M_A : w'(0) = 0 et ii) déflection bloquée par R_B : w(L/2) = 0

$$w'(0) = 0 = \frac{-qL^3}{24EI} + \frac{M_A \cdot 2L^2}{6LEI} + \frac{R_B L^2}{16EI}$$

$$w\left(\frac{L}{2}\right) = 0 = \frac{-qL}{48EI} \left(L^3 - \frac{2L^3}{4} + \frac{L^3}{8}\right) + \frac{M_A}{12EI} \left(2L^2 - \frac{3L^2}{2} + \frac{L^2}{4}\right) + \frac{R_B L}{96EI} \left(3L^2 - 4\frac{L^2}{4}\right)$$

$$w'(0) = 0 \Leftrightarrow \frac{-qL^2}{24} + \frac{M_A}{3} + \frac{R_BL}{16} = 0$$

$$w\left(\frac{L}{2}\right) = 0 \Leftrightarrow \frac{-5qL^2}{384} + \frac{M_A}{16} + \frac{R_BL}{48} = 0$$

De la partie
$$(L/2) = 0$$
. donc $\frac{-5qL^2}{384} + \frac{M_A}{16} + \frac{R_BL}{48} = 0 \Leftrightarrow M_A = \frac{5qL^2}{24} - \frac{R_BL}{3}$

En injectant ce résultat dans la partie w':

$$\frac{-qL^2}{24} + \frac{\frac{5qL^2}{24} - \frac{R_BL}{3}}{3} + \frac{R_BL}{16} = 0 \Leftrightarrow R_B = \frac{4qL}{7} \text{ et de l'éq (2): } M_A = \frac{qL^2}{56}$$

En reprenant les équations d'équilibre des forces et des moments:

$$\Sigma M_{z} = 0 = M_{A} + R_{B} \frac{L}{2} + R_{C}L - \frac{-qL^{2}}{2} \Leftrightarrow \frac{qL^{2}}{56} + \frac{4qL}{7} \frac{L}{2} + R_{C}L - \frac{-qL^{2}}{2} = 0 \Leftrightarrow R_{C} = \frac{11qL}{56}$$

$$\Sigma F_{y} = 0 = R_{A} + R_{B} + R_{C} - qL \Leftrightarrow R_{A} = qL - \frac{4qL}{7} - \frac{11qL}{56} = \frac{13qL}{56}$$

On trouve donc finalement :
$$R_A = \frac{13qL}{56}$$
 $R_B = \frac{4qL}{7}$ $R_C = \frac{11qL}{56}$ $M_A = \frac{qL^2}{56}$

Cas 2: R_B et R_C sont les redondants. On peut séparer la poutre en 3 parties: la première avec les charges mais sans les redondants, puis les autres avec chacune respectivement un redondant. Attention, on remarque que dans le formulaire, P est dans les deux cas dans la direction opposée de R_B et R_C il faudra donc bien penser à changer le signe.



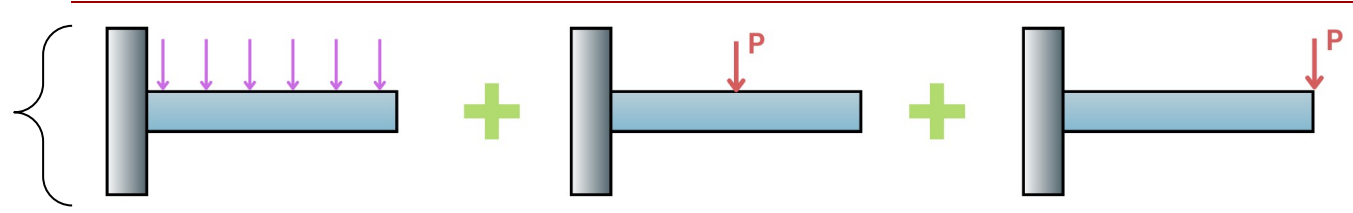


Figure 9b.7.3 | Superposition à effectuer pour le cas 2. R_B et R_C sont les redondants

Poutre a):
$$w(x) = \frac{-qx^2}{24EL}(6L^2 - 4Lx + x^2)$$
 $0 < x < L$

Poutre b):
$$w(x) = \frac{R_B x^2}{6EL} \left(\frac{3L}{2} - x \right)$$
 $x \le L/2$ et $w(x) = \frac{R_B L^2}{24EL} \left(3x - \frac{L}{2} \right)$ $x > L/2$

Poutre c):
$$w(x) = \frac{R_c x^2}{6EL} (3L - x)$$
 $0 < x < L$

On utilise les équations de compatibilité au point ou le redondant est appliqué.

On a dans ce cas: Déflection bloquée par $\mathbf{R}_{\mathbf{G}}$: w(L/2)=0 et déflection bloquée par $\mathbf{R}_{\mathbf{G}}$: w(L)=0

$$\int w\left(\frac{L}{2}\right) = 0 = \frac{-qL^2}{96EI} \left(6L^2 - \frac{4L^2}{2} + \frac{L^2}{2}\right) + \frac{R_BL^2}{24EI} \left(\frac{3L}{2} - \frac{L}{2}\right) + \frac{R_cL^2}{24EI} \left(3L - \frac{L}{2}\right)$$
(1)

$$w(L) = 0 = \frac{-qL^2}{24EI} (6L^2 - 4L^2 + L^2) + \frac{R_B L^2}{24EI} (3L - \frac{L}{2}) + \frac{R_c L^2}{6EI} (3L - L)$$
 (2)

$$\begin{cases} w\left(\frac{L}{2}\right) = 0 \Leftrightarrow \frac{-q}{4} \frac{17L}{4} + R_B + \frac{5R_C}{2} = 0 \\ w(L) = 0 \Leftrightarrow \frac{-3qL}{4} + \frac{5R_B}{8} + 2R_C = 0 \end{cases}$$
 (1)

$$w(L) = 0 \Leftrightarrow \frac{-3qL}{4} + \frac{5R_B}{8} + 2R_C = 0$$
 (2)

De la partie (1):
$$\frac{-q}{4} \frac{17L}{4} + R_B + \frac{5R_C}{2} = 0 \Leftrightarrow R_B = \frac{17qL}{16} - \frac{5R_C}{2}$$

En injectant ce résultat dans la partie (2)

$$\frac{-3qL}{4} + \frac{5(\frac{17qL}{16} - \frac{5R_C}{2})}{8} + 2R_C = 0 \Leftrightarrow R_C = \frac{11qL}{56} \text{ et de l'éq (1): } R_B = \frac{4qL}{7}$$

En reprenant les équations d'équilibre des forces et des moments:

$$\Sigma M_z = 0 = M_A + R_B \frac{L}{2} + R_C L - \frac{-qL^2}{2} \Leftrightarrow M_A + \frac{4qL}{7} \frac{L}{2} + \frac{11qL}{56} L - \frac{-qL^2}{2} = 0 \Leftrightarrow M_A = \frac{qL^2}{56}$$

$$\Sigma F_y = 0 = R_A + R_B + R_C - qL \Leftrightarrow R_A = qL - \frac{4qL}{7} - \frac{11qL}{56} = \frac{13qL}{56}$$

On trouve donc finalement:
$$R_A = \frac{13qL}{56}$$
 $R_B = \frac{4qL}{7}$ $R_C = \frac{11qL}{56}$ $M_A = \frac{qL^2}{56}$